

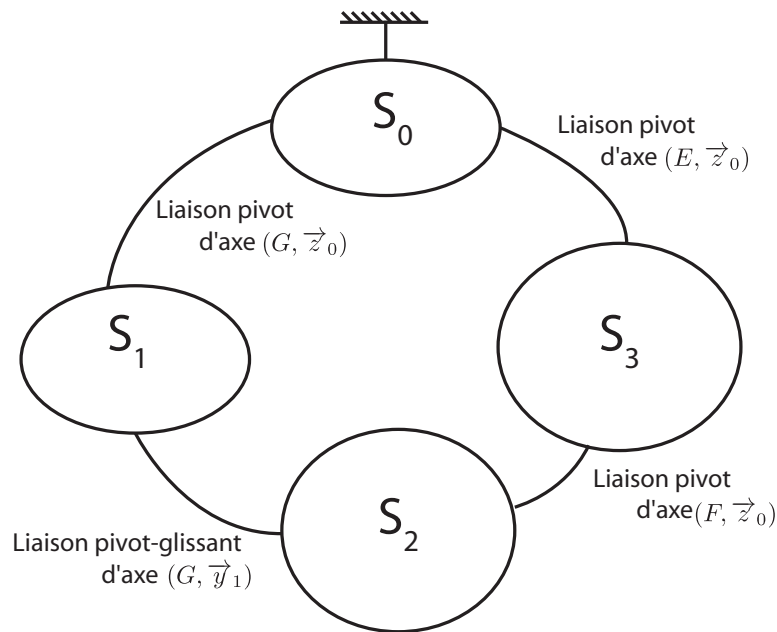
# I. Sujet 1

## 1 Dispositif de réglage de l'incidence des pales d'hélicoptère

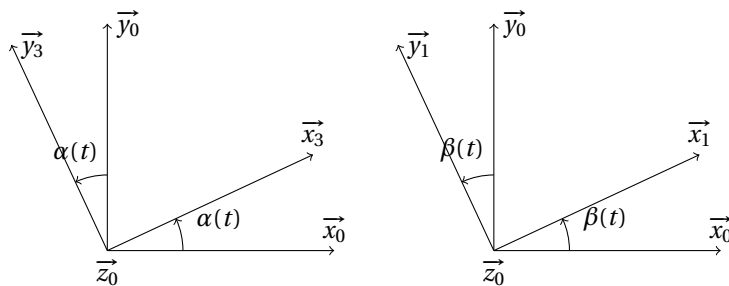
**Q 1 :** Indiquer à quelle situation de vol correspondent chacune de ces situations :

- Hélicoptère en vol stationnaire;
- hélicoptère en déplacement dans le plan;
- hélicoptère à l'arrêt.
- (a) : hélicoptère à l'arrêt car aucune portance créée.
- (b) : vol stationnaire
- (c) : hélicoptère en déplacement dans le plan

**Q 2 :** faire le graphe des liaisons modélisant le mécanisme.



**Q 3 :** Faire les figures planes de projection



**Q 4 :** Écrire la fermeture géométrique du système.

$$\begin{aligned} \vec{OE} + \vec{EF} + \vec{FO} &= \vec{0} \\ e \vec{y}_0 + b \vec{x}_3 - g \vec{x}_0 - f(t) \vec{y}_1 &= 0 \end{aligned}$$

En projection selon  $\vec{x}_0$  et  $\vec{y}_0$ ,

$$\begin{cases} \cdot \vec{x}_0 & \left\{ \begin{aligned} b \cos \alpha(t) - g + f(t) \sin \beta(t) &= 0 \\ e + b \sin \alpha(t) - f(t) \cos \beta(t) &= 0 \end{aligned} \right. \\ \cdot \vec{y}_0 & \end{cases}$$

**Q 5 :** En déduire une relation entre  $f(t)$  et  $\alpha(t)$ .

On isole la paramètre  $\beta$  :

$$\begin{array}{lcl} (a) & \left\{ \right. & g - b \cos \alpha(t) = f(t) \sin \beta(t) \\ (b) & \left\{ \right. & b \sin \alpha(t) + e = f(t) \cos \beta(t) \end{array}$$

On utilise alors la combinaison  $(a)^2 + (b)^2$  :

$$f(t)^2 = (g - b \cos \alpha(t))^2 + (b \sin \alpha(t) + e)^2$$

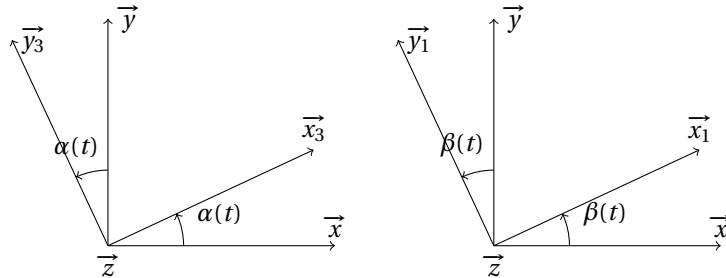
**Q 6 : Sachant que le vérin est en position médiane (mi-course) lorsque  $\alpha = 0$ , en déduire le débattement angulaire du plateau cyclique et conclure sur le cahier des charges.**

Le course du vérin est de  $28\text{mm}$ . Sur la figure, la position médiane du vérin est de  $52\text{mm}$ . Ainsi le vérin se déplace de  $52 - 14 = 38\text{mm}$  jusqu'à  $52 + 14 = 66\text{mm}$ . On repère les angles correspondant  $\pm 0,4\text{rad}$  soit environ  $23^\circ$ . Ce déplacement angulaire est bien inférieur au  $30^\circ$  demandé dans le cahier des charges.

## II. Sujet 2

### 1 Dispositif de réglage de l'incidence des pales d'hélicoptère

Q 1 : Faire les figures planes de projection



Q 2 : Écrire la fermeture géométrique du système.

$$\begin{aligned}\vec{OE} + \vec{EF} + \vec{FO} &= \vec{0} \\ e(t)\vec{y} + b\vec{x}_3 - g\vec{x} - f(t)\vec{y}_1 &= 0\end{aligned}$$

En projection selon  $\vec{x}$  et  $\vec{y}$ ,

$$\begin{cases} \cdot \vec{x} & b \cos \alpha(t) - g + f(t) \sin \beta(t) = 0 \\ \cdot \vec{y} & e(t) + b \sin \alpha(t) - f(t) \cos \beta(t) = 0 \end{cases}$$

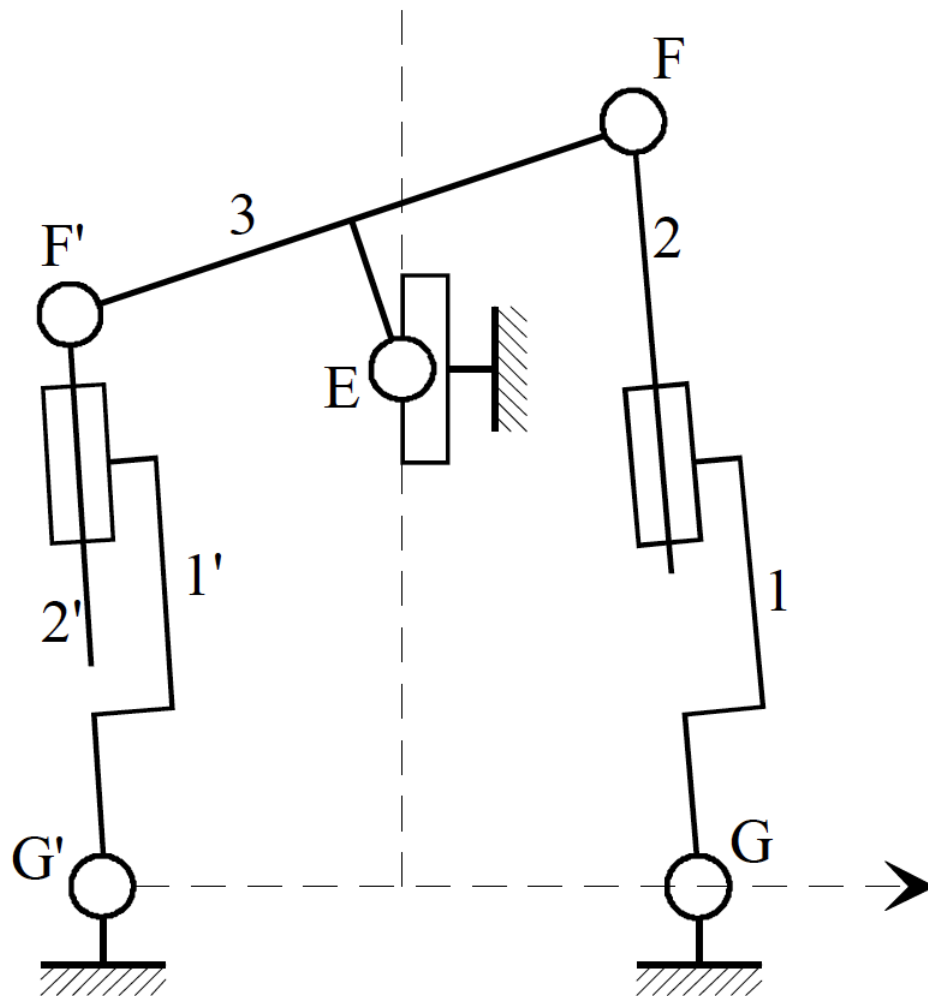
Q 3 : En déduire l'indice de mobilité cinématique, qui définit le nombre de paramètres indépendants permettant de fixer de manière unique la position de chacune des pièces.

Il y a quatre paramètres variables ( $e(t)$ ,  $f(t)$ ,  $\alpha(t)$  et  $\beta(t)$ ) pour seulement 2 équations, on a donc une mobilité de 2.

Q 4 : Expliquer la nécessité d'utiliser deux vérins.

Il faut donc deux vérins.

Q 5 : Construire le schéma cinématique du dispositif avec deux vérins.



**Q 6 : Écrire la fermeture géométrique du système complet.**

$$\begin{aligned}\overrightarrow{OE} + \overrightarrow{EF'} + \overrightarrow{F'O} &= \overrightarrow{0} \\ e(t)\overrightarrow{y} - b\overrightarrow{x}_3 + g\overrightarrow{x} - f'(t)\overrightarrow{y}_1 &= \overrightarrow{0}\end{aligned}$$

En projection selon  $\vec{x}$  et  $\vec{y}$ ,

$$\begin{cases} \vec{x} & -b \cos \alpha(t) + g + f'(t) \sin \beta'(t) = 0 \\ \vec{y} & e(t) - b \sin \alpha(t) - f'(t) \cos \beta'(t) = 0 \end{cases}$$

**Q 7 : En déduire l'indice de mobilité.**

On se retrouve avec 4 équations indépendantes pour 6 inconnues cinématiques ( $e(t)$ ,  $f(t)$ ,  $\alpha(t)$ ,  $\beta(t)$ ,  $\beta'(t)$  et  $f'(t)$ ).  
Ce qui fait bien une mobilité de 2.

### III. Sujet 3

#### 1 Téléchirurgie robotisée au contact d'organes mobiles

**Q 1 : En développant une fermeture géométrique en projection dans la base du repère  $R_0$ , donner une relation algébrique reliant les paramètres  $L_0, L_1, L_2, \theta_1$  et  $\theta_3$ .**

En s'appuyant sur la figure 5, la fermeture géométrique donne :  $\overrightarrow{AB} + \overrightarrow{BC} + \overrightarrow{CD} + \overrightarrow{DA} = \vec{0}$ .

D'où, en tenant compte du paramétrage du sujet :  $L_0 \vec{x}_0 + L_1 \vec{x}_1 - L_2 \vec{x}_3 - L_2 \vec{x}_2 = \vec{0}$

Or on a pour  $i=1,2,3$  :  $\vec{x}_i = \cos(\theta_i) \vec{x}_0 + \sin(\theta_i) \vec{y}_0$

D'où les relations en projection dans le plan  $(A, \vec{x}_0, \vec{y}_0)$  :

$$\text{sur } \vec{x}_0 : L_0 + L_1 \cos(\theta_1) - L_2 \cos(\theta_3) - L_2 \cos(\theta_2) = 0 \quad (1.1)$$

$$\text{sur } \vec{y}_0 : 0 + L_1 \sin(\theta_1) - L_2 \sin(\theta_3) - L_2 \sin(\theta_2) = 0 \quad (1.2)$$

Pour obtenir la relation demandée, il faut isoler  $\theta_2$  puis le faire « disparaître » :

$$(1.1) : L_0 + L_1 \cos(\theta_1) - L_2 \cos(\theta_3) = L_2 \cos(\theta_2)$$

$$(1.2) : 0 + L_1 \sin(\theta_1) - L_2 \sin(\theta_3) = L_2 \sin(\theta_2)$$

Ainsi la somme des carrés des relations (1.1) et (1.2) donne :

$$L_2^2 (\cos(\theta_2)^2 + \sin(\theta_2)^2) = (L_0 + L_1 \cos(\theta_1) - L_2 \cos(\theta_3))^2 + (L_1 \sin(\theta_1) - L_2 \sin(\theta_3))^2$$

D'où finalement :  $L_2 = \sqrt{(L_0 + L_1 \cos(\theta_1) - L_2 \cos(\theta_3))^2 + (L_1 \sin(\theta_1) - L_2 \sin(\theta_3))^2}$  car  $L_2 > 0$ .

**Q 2 : De même, exprimer le vecteur position du point E ( $\overrightarrow{AE}$ ) dans la base du repère  $R_0$  en fonction de  $L_0, L_1, L_2, \theta_1$  et  $\theta_3$ .**

$$\overrightarrow{AE} = \overrightarrow{AB} + \overrightarrow{BC} + \overrightarrow{CE} \text{ avec } \overrightarrow{CE} = 2 \overrightarrow{CD} = -2 L_2 \vec{x}_3$$

$$\text{D'où } \overrightarrow{AE} = L_0 \vec{x}_0 + L_1 \vec{x}_1 - 2 L_2 \vec{x}_3 = \begin{pmatrix} L_0 + L_1 \cos(\theta_1) - 2 L_2 \cos(\theta_3) \\ L_1 \sin(\theta_1) - 2 L_2 \sin(\theta_3) \\ 0 \end{pmatrix}_{(B_0)}$$

**Q 3 : Vérifier, à l'aide des figures ?? et ??, que le déplacement du point E est compatible avec les exigences « Amplitude déplacement » (id 1.2.1.1) et « Mouvement rectiligne » (id 1.2.1.2) sur l'intervalle  $X_E \in [-60 \text{ mm}, 40 \text{ mm}]$ .**

Sur l'intervalle considéré :

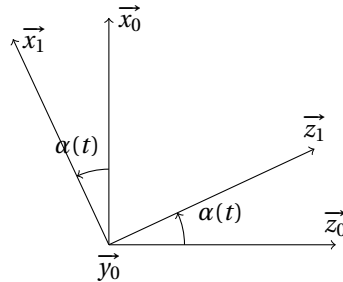
- Sur la figure 6.(a) on relève que  $X_E$  varie de 100 mm, ce qui est supérieur à 50 mm la valeur exigée pour l'amplitude de déplacement (id 1.2.1.1) ;
- Sur la figure 6.(b) on relève que l'amplitude en  $Y$  est  $Y_E \text{ max} - Y_E \text{ min} = -100,00 \text{ mm} + 100,25 \text{ mm} = 0,25 \text{ mm}$  ce qui est inférieur à 0,5 mm la valeur maximale admissible par l'exigence de mouvement rectiligne (id 1.2.1.2) ;
- Sur la figure 6.(b) on relève le taux de variation  $-2\% < \frac{dY_E}{dX_E} \leq 2\%$  ce qui vérifie l'exigence de mouvement rectiligne (id 1.2.1.2).

Ainsi le déplacement du point E est compatibles avec les exigences (id 1.2.1.1) et (id 1.2.1.2) sur l'intervalle [-60 mm, 40 mm].

## IV. Sujet 4

### 1 Simulateur de conduite : corrigé

**Q 1 : Représenter la figure plane de projection permettant de passer du repère 0 au repère 1**



**Q 2 : Soit  $\vec{g} = -g \vec{z}_0$ , exprimer ce vecteur dans la base 1  $(\vec{x}_1, \vec{y}_1, \vec{z}_1)$**

$$\vec{g} = -g \cdot \cos \alpha(t) \cdot \vec{z}_1 + g \cdot \sin \alpha(t) \cdot \vec{x}_1$$

**Q 3 : Calculer  $V(A/R_0)$**

On obtient :

$$\vec{V}(A/R_0) = \vec{\Omega}(1/0) \wedge \vec{OA} = \vec{\Omega}(1/0) \wedge (h \cdot \vec{z}_1) = \dot{\alpha}(t) \cdot \vec{y}_0 \wedge h \cdot \vec{z}_1 = \dot{\alpha}(t) \cdot h \cdot \vec{y}_1 \wedge \vec{z}_1 = \dot{\alpha}(t) \cdot h \cdot \vec{x}_1$$

**Q 4 : Exprimer la fermeture vectorielle  $\vec{OA} + \vec{AB} + \vec{BO} = \vec{0}$  dans la base  $(\vec{x}_0, \vec{y}_0, \vec{z}_0)$**

$$h \cdot \vec{z}_1 - \lambda \cdot \vec{x}_3 + L \cdot \vec{x}_0 = \vec{0}$$

**Q 5 : En déduire deux équations scalaires en projection sur  $\vec{x}_0 = 0$ , et  $\vec{z}_0 = 0$ .**

Par projection (respectivement sur  $\vec{x}_0$  et  $\vec{z}_0$ ), on obtient :

$$\begin{cases} h \cdot \sin \alpha - \lambda \cdot \cos \beta + L = 0 \\ h \cdot \cos \alpha + \lambda \cdot \sin \beta = 0 \end{cases}$$

**Q 6 : En déduire une relation donnant  $\lambda$  en fonction  $h, L$  et  $\alpha$ .**

En isolant les termes en  $\lambda$ , on obtient :

$$\begin{cases} \lambda \cdot \cos \beta = h \cdot \sin \alpha + L \\ \lambda \cdot \sin \beta = -h \cdot \cos \alpha \end{cases}$$

En élevant au carré et en sommant les deux lignes, on obtient :

$$\lambda^2 = (h \cdot \sin \alpha + L)^2 + h^2 \cdot \cos^2 \alpha.$$

Soit :

$$\lambda = \sqrt{h^2 + L^2 + 2 \cdot L \cdot h \cdot \sin \alpha}.$$

**Q 7 : Déterminer alors le débattement angulaire.**

Le vérin se déplace de  $0,075m$  autour de la longueur initiale de  $0,99m$ . Ainsi l'angle  $\alpha$  ne varie que de  $\pm 8^\circ$  en utilisant la figure ??.

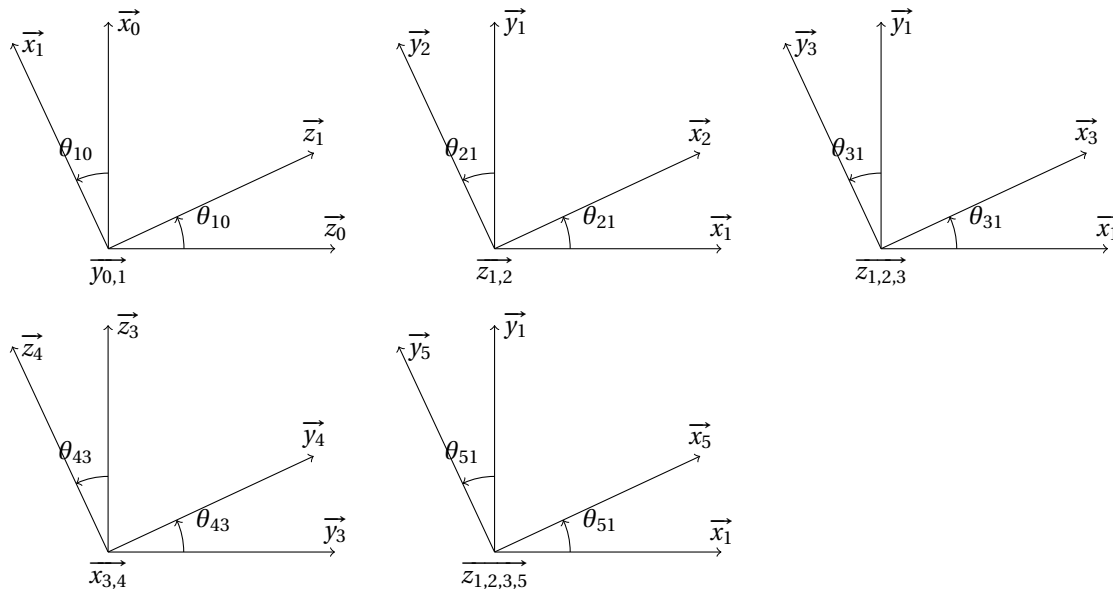
**Q 8 : On approche la courbe par une droite au voisinage de  $\alpha = 0^\circ$  :  $\lambda = \lambda_0 + K_\alpha \cdot \alpha$ . En utilisant la figure ??, donner la valeur numérique de  $K_\alpha$ . Conserver les unités définies sur les figures.**

$$K_\alpha = 0,25/0,30 = 0,0083m \cdot ^\circ^{-1}$$

## V. Sujet 5

### 1 Assemblage du fuselage d'un falcon à l'aide d'un robot 6 axes ABB

**Q 1 : Donner les figures planes de projection permettant de traduire toutes les rotations du mécanisme.**



**Q 2 : Déterminer le vecteur  $\overrightarrow{O_0O_P}$ .**

$$\begin{aligned}\overrightarrow{O_0O_P} &= \overrightarrow{O_0O_2} + \overrightarrow{O_2O_3} + \overrightarrow{O_3O_4} + \overrightarrow{O_4O_5} + \overrightarrow{O_5P} \\ &= L_1 \cdot \vec{x}_1 + L_2 \cdot \vec{y}_1 + L_3 \cdot \vec{x}_2 + L_4 \cdot \vec{x}_3 + L_5 \cdot \vec{y}_3 + L_6 \cdot \vec{x}_3 + L_8 \cdot \vec{x}_5\end{aligned}$$

**Q 3 : Déterminer la projection du vecteur  $\overrightarrow{O_0O_P}$  selon les vecteurs  $\vec{x}_1$  et  $\vec{y}_1$ .**

$$\begin{cases} \overrightarrow{O_0O_P} \cdot \vec{x}_1 = L_1 + L_3 \cdot \cos\theta_{21} + L_4 \cdot \cos\theta_{31} - L_5 \cdot \sin\theta_{31} + L_6 \cdot \cos\theta_{31} + L_8 \cdot \cos\theta_{51} \\ \overrightarrow{O_0O_P} \cdot \vec{y}_1 = L_2 + L_3 \cdot \sin\theta_{21} + L_4 \cdot \sin\theta_{31} + L_5 \cdot \cos\theta_{31} + L_6 \cdot \sin\theta_{31} + L_8 \cdot \sin\theta_{51} \end{cases}$$

**Q 4 : Donner les valeurs numériques des projections du vecteur  $\overrightarrow{O_0O_P}$  selon les vecteurs  $\vec{x}_1$  et  $\vec{y}_1$  pour les deux positions extrêmes 1 et 2.**

	Position 1	Position 2
$\overrightarrow{O_0O_P} \cdot \vec{x}_1$	2,7284m	2,7174m
$\overrightarrow{O_0O_P} \cdot \vec{y}_1$	1,5945m	-0,7475m

**Q 5 : Vérifier que le robot peut bien atteindre les deux positions extrêmes souhaitées.**

On vérifie bien ainsi que le robot peut atteindre les deux positions extrêmes selon  $\vec{x}_1$ .

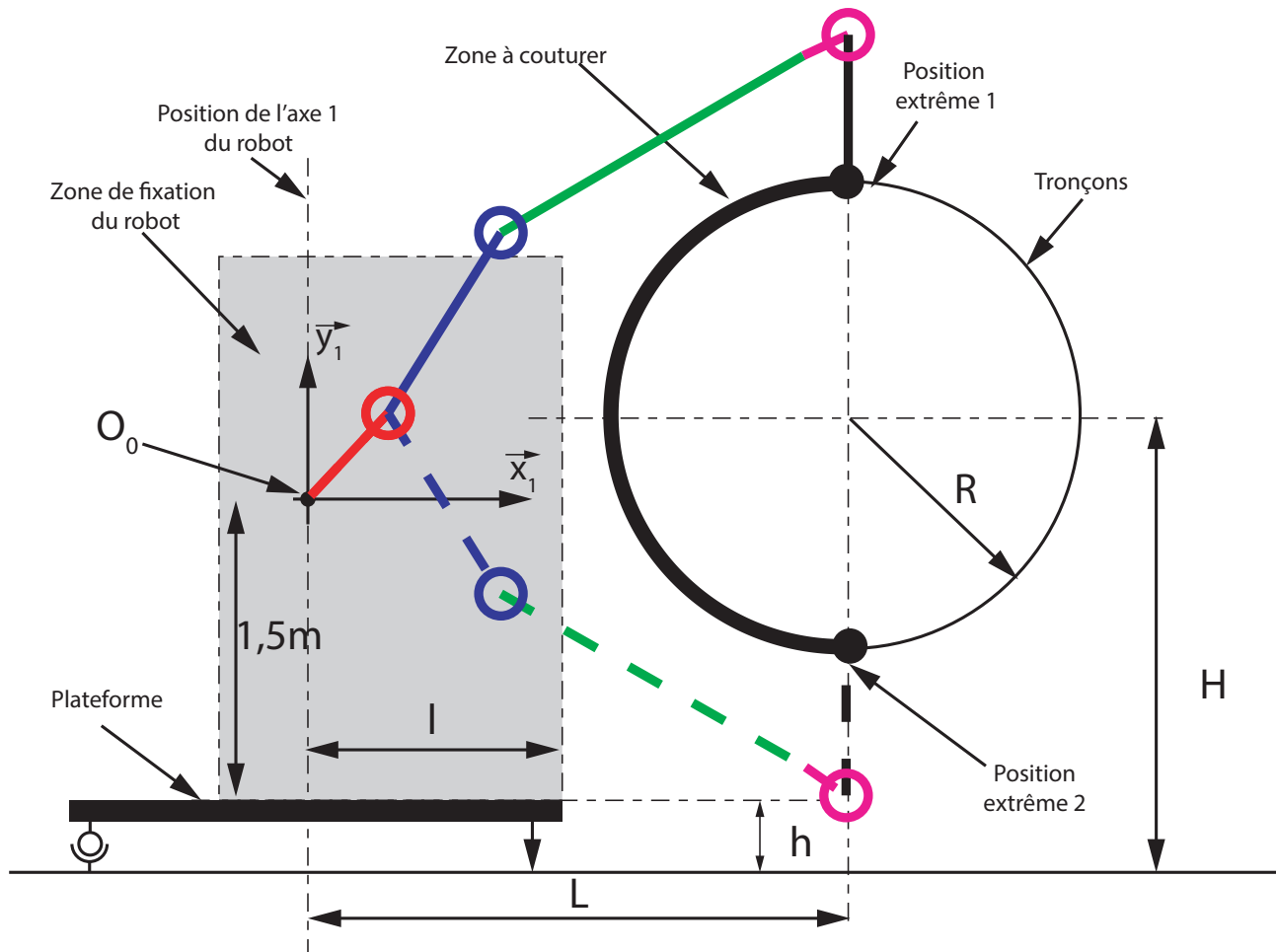
Selon  $\vec{y}_1$  la différence entre les deux positions extrêmes est égale à 2,342m ce qui permet bien de remplir le cahier des charges.

**Q 6 : Déterminer la hauteur H de positionnement du centre du fuselage par rapport au sol. Vérifier que le fuselage ne touche pas le sol.**

Le centre du fuselage se situe à une hauteur de  $\frac{(1,5945 - 0,7475)}{2} = 0,4235m$  de  $O_0$ . Ainsi  $H = h + 1,5 + 0,4235 = 0,3 + 1,5 + 0,4235 = 2,2235m$ . Le rayon du fuselage est de 1,17m donc tout est bien ok.

**Q 7 : Représenter schématiquement sur la figure ?? le robot dans ses deux configurations extrêmes.**

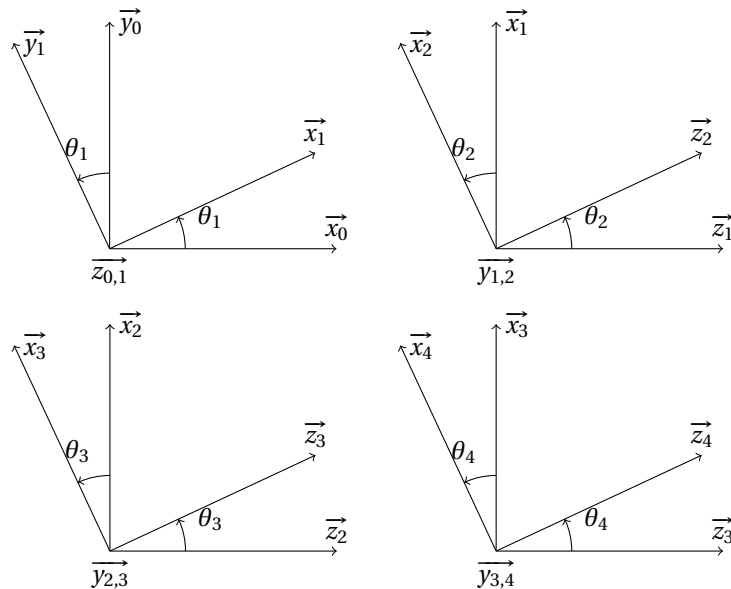




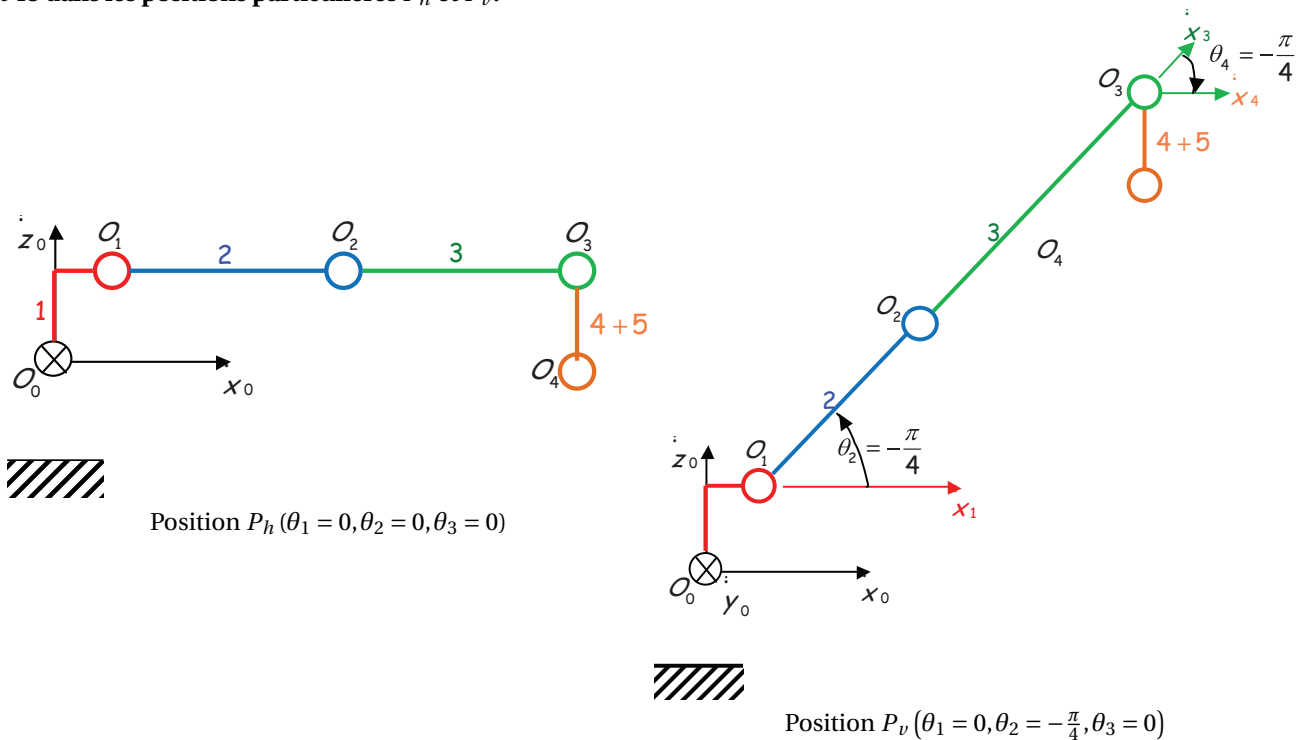
## VI. Sujet 6

### 1 Bras articulé du robot Spirit

Q 1 : Représenter les figures planes de changement de repère  $R_0$ - $R_1$ ,  $R_1$ - $R_2$ ,  $R_2$ - $R_3$  et  $R_3$ - $R_4$ .



Q 2 : Compléter les deux schémas cinématiques permettant de visualiser dans le plan  $(O_0, \vec{x}_0, \vec{y}_0)$  les solides 2, 3 et 45 dans les positions particulières  $P_h$  et  $P_v$ .



Q 3 : Déterminer  $\overrightarrow{O_0 O_3}$ .

$$\overrightarrow{O_0 O_3} = \overrightarrow{O_0 O_1} + \overrightarrow{O_1 O_2} + \overrightarrow{O_2 O_3} = a_1 \cdot \vec{x}_1 + c_1 \cdot \vec{z}_1 + a_2 \cdot \vec{x}_2 + a_3 \cdot \vec{x}_3$$

Q 4 : Exprimer  $\overrightarrow{O_0 O_3}$  dans  $R_0$ .

$$\vec{x}_2 = \cos(\theta_2) \cdot \vec{x}_0 - \sin(\theta_2) \cdot \vec{z}_0$$

$$\vec{x}_3 = \cos(\theta_2 + \theta_3) \cdot \vec{x}_0 - \sin(\theta_2 + \theta_3) \cdot \vec{z}_0$$

$$\overrightarrow{O_0 O_3} = a_1 \cdot \vec{x}_0 + c_1 \cdot \vec{z}_0 + a_2 \cdot [\cos(\theta_2) \cdot \vec{x}_0 - \sin(\theta_2) \cdot \vec{z}_0] + a_3 \cdot [\cos(\theta_2 + \theta_3) \cdot \vec{x}_0 - \sin(\theta_2 + \theta_3) \cdot \vec{z}_0]$$

$$\overrightarrow{O_0 O_3} = [a_1 + a_2 \cdot \cos(\theta_2) + a_3 \cdot \cos(\theta_2 + \theta_3)] \cdot \vec{x}_0 + [c_1 - a_2 \cdot \sin(\theta_2) - a_3 \cdot \sin(\theta_2 + \theta_3)] \cdot \vec{z}_0$$

**Q 5 : Calculer la hauteur maximale d'étude de la roche par rapport au sol dans la position  $P_v$  ( $\theta_1 = 0, \theta_2 = -\frac{\pi}{4}, \theta_3 = 0$ ).**

$$h_{\max} = h_0 + \overrightarrow{O_0 O_4} \cdot \vec{z}_0 = h_0 + [\overrightarrow{O_0 O_3} + \overrightarrow{O_3 O_4}] \cdot \vec{z}_0 = h_0 + [c_1 - a_2 \cdot \sin(\theta_2) - a_3 \cdot \sin(\theta_2 + \theta_3)] - c_4$$

$$h_{\max} = h_0 + c_1 - a_2 \cdot \sin\left(-\frac{\pi}{4}\right) - a_3 \cdot \sin\left(-\frac{\pi}{4}\right) - c_4$$

$$h_{\max} = h_0 + c_1 + (a_2 + a_3) \cdot \frac{\sqrt{2}}{2} - c_4$$

$$h_{\max} = 0,5 + 0,1 + (0,5 + 0,8) \cdot \frac{\sqrt{2}}{2} - 0,15 = 1,37 \text{ m}$$

**Q 6 : Le cahier des charges demande une hauteur maximale d'étude de la roche par rapport au sol de  $1,35 \pm 0,05 \text{ m}$ , conclure quand aux performances obtenues.**

CDCF vérifié